

**Zeitschrift:** Schweizerische Bauzeitung  
**Herausgeber:** Verlags-AG der akademischen technischen Vereine  
**Band:** 125/126 (1945)  
**Heft:** 22

**Artikel:** Zum Einfluss der Faserrichtung auf die Festigkeit und den Elastizitätsmodul von Holz  
**Autor:** Stüssi, F.  
**DOI:** <https://doi.org/10.5169/seals-83757>

#### Nutzungsbedingungen

Die ETH-Bibliothek ist die Anbieterin der digitalisierten Zeitschriften auf E-Periodica. Sie besitzt keine Urheberrechte an den Zeitschriften und ist nicht verantwortlich für deren Inhalte. Die Rechte liegen in der Regel bei den Herausgebern beziehungsweise den externen Rechteinhabern. Das Veröffentlichen von Bildern in Print- und Online-Publikationen sowie auf Social Media-Kanälen oder Webseiten ist nur mit vorheriger Genehmigung der Rechteinhaber erlaubt. [Mehr erfahren](#)

#### Conditions d'utilisation

L'ETH Library est le fournisseur des revues numérisées. Elle ne détient aucun droit d'auteur sur les revues et n'est pas responsable de leur contenu. En règle générale, les droits sont détenus par les éditeurs ou les détenteurs de droits externes. La reproduction d'images dans des publications imprimées ou en ligne ainsi que sur des canaux de médias sociaux ou des sites web n'est autorisée qu'avec l'accord préalable des détenteurs des droits. [En savoir plus](#)

#### Terms of use

The ETH Library is the provider of the digitised journals. It does not own any copyrights to the journals and is not responsible for their content. The rights usually lie with the publishers or the external rights holders. Publishing images in print and online publications, as well as on social media channels or websites, is only permitted with the prior consent of the rights holders. [Find out more](#)

**Download PDF:** 21.02.2026

**ETH-Bibliothek Zürich, E-Periodica, <https://www.e-periodica.ch>**

## Zum Einfluss der Faserrichtung auf die Festigkeit und den Elastizitätsmodul von Holz

Von Prof. Dr. F. STÜSSI, E. T. H., Zürich

1. Durch die grundlegenden Versuche von R. Baumann<sup>1)</sup> ist der Einfluss des Winkels  $\gamma$  zwischen Kraftrichtung und Faserrichtung auf die Festigkeit und die Verformbarkeit von Holz abgeklärt worden. Für die Konstruktionspraxis des Holzbaues ist es erwünscht, diesen versuchstechnisch gefundenen Zusammenhang in möglichst einfacher Form rechnerisch ausdrücken zu können. Die von F. Kollmann<sup>2)</sup> für die Festigkeit  $\sigma_y$  angegebene Gleichung

$$\sigma_y = \frac{1}{\frac{\cos^n \gamma}{\sigma_{||}} + \frac{\sin^n \gamma}{\sigma_{\perp}}} = \frac{\sigma_{||} \sigma_{\perp}}{\sigma_{||} \cos^n \gamma + \sigma_{\perp} \sin^n \gamma} \quad \dots \quad (1)$$

in der  $\sigma_{||}$  und  $\sigma_{\perp}$  die Festigkeiten parallel und senkrecht zur Faser bedeuten (Abb. 1) und in der der Exponent  $n$  mit der Beanspruchungsart veränderlich ist, gibt wohl den allgemeinen Charakter des versuchstechnisch gefundenen Verlaufs von  $\sigma_y$  ziemlich gut wieder, doch zeigt sie anderseits auch unerwünschte grosse Abweichungen bei einzelnen Versuchskurven und vor allem ist sie für den Konstruktionstisch wegen des im Allgemeinen nicht ganzzahligen Exponenten  $n$  (nach Kollmann ist  $n = 1,5$  bis 2 für Zugbeanspruchung und  $n = 2,5$  bis 3 für Druckbeanspruchung) zu unhandlich. Es liegt deshalb offenbar das Bedürfnis vor, den Kollmannschen Ansatz, Gleichung 1, durch eine anpassungsfähigere Formel, die auch ohne Logarithmentafel ausgewertet werden kann, zu ersetzen.

2. Nach Abb. 1 scheint es naheliegend, für  $\sigma_y$  einen Ansatz in der Form

$$\sigma_y = \varphi_1 \sigma_{||} \cos^2 \gamma + \varphi_2 \sigma_{\perp} \sin^2 \gamma$$

einzu führen. Dabei bedeuten  $\varphi_1$  und  $\varphi_2$  von der Struktur des Holzes und der Beanspruchungsart abhängige Abminderungsfaktoren, die entsprechend dem Verlauf der Versuchskurven zu bestimmen sind. Dabei muss

$$\begin{aligned} \text{für } \gamma = 0 & \quad \varphi_1 = 1,0 \text{ und} \\ \text{für } \gamma = 90^\circ & \quad \varphi_2 = 1,0 \end{aligned}$$

sein. Wir schreiben die Faktoren  $\varphi$  in der Form

$$\varphi_1 = \frac{1}{\sqrt{1 + c_1 \sin^2 \gamma}} \quad \varphi_2 = \frac{1}{\sqrt{1 + c_2 \cos^2 \gamma}}$$

an und erhalten damit  $\sigma_y$  zu

$$\sigma_y = \sigma_{||} \frac{\cos^2 \gamma}{\sqrt{1 + c_1 \sin^2 \gamma}} + \sigma_{\perp} \frac{\sin^2 \gamma}{\sqrt{1 + c_2 \cos^2 \gamma}} \quad \dots \quad (2)$$

Dadurch, dass wir über zwei Koeffizienten  $c_1$  und  $c_2$  verfügen können, lässt sich Gleichung 2 dem Verlauf der Versuchskurven an insgesamt vier Stellen anpassen.

Als Beispiel für diese Anpassungsfähigkeit seien die Versuche von O. Kraemer über die Abhängigkeit der Zugfestigkeit

<sup>1)</sup> R. Baumann: Die bisherigen Ergebnisse der Holzprüfungen in der Materialprüfungsanstalt an der Technischen Hochschule Stuttgart. Forschungsarbeiten VDI, Heft 231, Berlin 1922.

<sup>2)</sup> F. Kollmann: Die Abhängigkeit der Festigkeit und der Dehnungszahl der Hölzer vom Faserverlauf. Bauingenieur 1934.

von der Faserrichtung bei Birkenfurnieren, die auch bei F. Kollmann<sup>2)</sup> wiedergegeben sind, beigezogen<sup>3)</sup>. Tabelle 1 zeigt den Vergleich von Gleichung 2, ausgewertet mit  $c_1 = 500$ ,  $c_2 = 1$ , mit den Versuchswerten und der Auswertung von F. Kollmann, Gleichung 1 mit  $n = 1,5$ .

Tabelle 1: Werte  $\sigma_y$  in kg/cm<sup>2</sup>

$\gamma$	Versuchswerte	nach Gl. 1 (Kollmann)	nach Gl. 2
0°	1127	1127	1127
2,5	935	972	806
5	575	465	510
10	261	225	273
15	158,6	135,8	180
30	94,6	54,9	79,0
45	42,1	33,4	43,8
60	29,6	24,9	28,1
75	21,7	21,2	21,7
90	20,2	20,2	20,2

Zur besseren Veranschaulichung ist dieser Vergleich in Abb. 2 graphisch dargestellt, wobei zur Verdeutlichung die Ordinaten  $\sigma_y$  in logarithmischem Maßstab aufgetragen sind. In Abb. 3 sind die klassischen Versuchsergebnisse über die Festigkeiten der Gotthardtanne von R. Baumann aufgetragen und mit der Auswertung nach Gleichung 2 mit den Werten

$$\begin{aligned} c_1 &= 7 & c_2 &= 1,5 \text{ für Druck,} \\ 50 & & 10 & \text{für Zug,} \\ 16 & & 3 & \text{für Biegung} \end{aligned}$$

verglichen. Dabei wurden für Querdruck die Mittelwerte aus radialem und tangentialem Querdruck angenommen.

Gleichung 2 lässt sich nun, und darin liegt ihr praktischer Wert, ohne weiteres auch auf die zulässigen Beanspruchungen  $\sigma_y$  zul. anwenden, wenn durch eine Verordnung nur die Werte  $\sigma_{||zul.}$  und  $\sigma_{\perp zul.}$  gegeben sind. In Abb. 4 ist der Verlauf des Verhältnisses  $\sigma_y$  zul./ $\sigma_{||zul.}$  für Druck nach Gleichung 2 dargestellt, berechnet für die Werte

$$\sigma_{\perp zul.} = 0,20 \sigma_{||zul.} \quad c_1 = 7,0 \quad c_2 = 1,5$$

3. Ein weiterer Vorteil der Gleichung 2 liegt darin, dass sie nicht nur für die Spannungen  $\sigma$  gilt, sondern dass sie auch die Abhängigkeit der Elastizitätszahlen vom Faserwinkel  $\gamma$  mit praktisch durchaus genügender Genauigkeit wiedergibt. In Abb. 5 sind die Baumannschen Versuchswerte für die Dehnungszahl  $\alpha = \frac{1}{E}$  bei Biegung (Gotthardtanne) und daraus umgerechnet der Verlauf des Elastizitätsmoduls  $E$  aufgetragen und mit dem Verlauf von Gleichung 2 mit den Werten

$$\begin{aligned} c_1 &= 16 & c_2 &= 3 \text{ für die Dehnungszahl } \alpha \\ \text{und } c_1 &= 50 & c_2 &= 10 \text{ für den Elastizitätsmodul } E \end{aligned}$$

verglichen.

<sup>3)</sup> O. Kraemer: Untersuchung über den Einfluss von Aufbau und Faserverlauf auf Zugfestigkeit, Biegung und Dehnung an Birkenfurnieren und Birkensperrholz. 122. Bericht der D. V. L., Berlin-Adlershof.

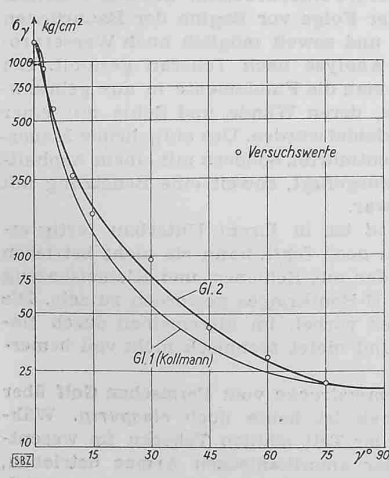


Abb. 2. Zugfestigkeit von Birkenfurnier

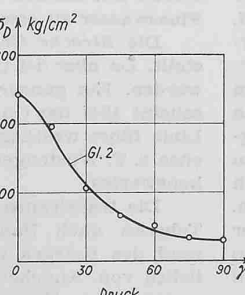
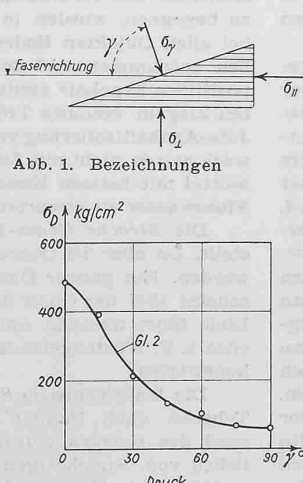
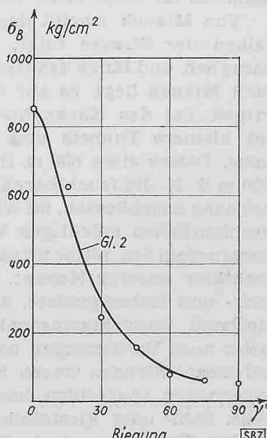
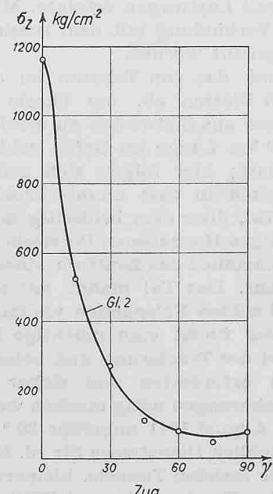


Abb. 3. Festigkeit der Gotthardtanne, Versuche Baumann



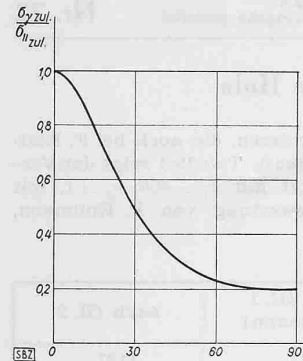


Abb. 4 (links). Verlauf des Verhältniswertes  $\sigma_\gamma \text{zul} / \sigma_{\text{II}} \text{zul}$  in Abhängigkeit von  $\gamma$

Abb. 5 (rechts). Dehnungszahl  $\alpha = 1/E$  und Elastizitätsmodul  $E$  in Abhängigkeit von  $\gamma$   
Die Punkte zeigen die von R. Baumann für Gotthard-Tannenholz gefundenen Versuchswerte

Die Abb. 2, 3 und 5 dürften genügen, um die Anpassungsfähigkeit und damit die Brauchbarkeit des neuen Ansatzes Gleichung 2 nachzuweisen.

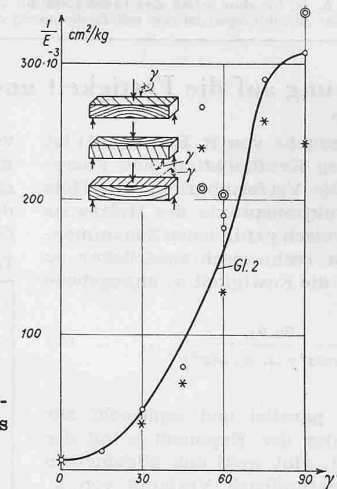
## Vom Eisenbahnbau in Iran

[Ein uns nahestehender schweiz. Bauingenieur, der von Ende 1939 bis April 1945 am Ausbau des persischen Bahnnetzes in führender Stellung gearbeitet hatte, stellt uns die nachfolgende Plauderei über seine Beobachtungen und Erlebnisse zur Verfügung, in der auch verschiedene Ungenauigkeiten in dem auf S. 168\* lfd. Bds. (Nr. 15 vom 13. Okt. 1945) erschienenen Aufsatz «Les chemins de fer Iraniens» berichtigt werden. Red.]

Beim Einmarsch der Alliierten Ende August 1941 stand bereits ein Teil der Strecke Teheran-Täbris in Betrieb; der Unterbau war bis ungefähr 15 km vor Mianeh grösstenteils fertiggestellt und das Gleis auch schon teilweise verlegt. Als dann an der Nordgrenze des Landes gekämpft wurde und einige Luftbombardierungen stattfanden, floh der grösste Teil des Personals der Regierung und der Unternehmungen nach Teheran oder in die Berge und liess die meisten persönlichen Effekten und die Arbeiter unbezahlt im Stich. Diese machten sich für die rückständigen Löhne aus den Vorräten der Unternehmungen und den Lebensmittelmagazinen teilweise bezahlt und verzogen sich darauf in ihre Dörfer. In den Zementdepots von z. T. einigen hundert Tonnen wurde der Zement aus den Säcken entleert und diese zum Hausgebrauch oder für einen späteren Verkauf mitgenommen. Die Requisitionen von Vorräten, Ersatzteilen und Maschinen durch die russische Armee vervollständigten die Verwirrung. Der ganze Baubetrieb war vollständig desorganisiert, und erst im Jahre 1942 wurden auf Betreiben der Alliierten die Bauarbeiten auf dem unvollendeten Teilstück von 15 km vor Mianeh mühsam wieder aufgenommen. Aber die Installationen in den Werkstätten, Bureaux, Wohnungen waren ausgeraubt oder ausgebrannt, die Türen und Fenster — im Lande ein kostbarer Artikel! — in die Dörfer verschleppt. Es musste vieles, wenn auch vereinfacht, neu erstellt oder beschafft werden.

Die Bahn folgt auf dieser Strecke meistens in Tunnels und auf Brücken der wilden Schlucht, die sich der Fluss Seyfid-Rud durch die Gebirgskette des Kaflangh-Kuh geschaffen hat. Nach Vollendung dieses Teilstückes von 15 km konnten die Züge mit Kriegsmaterial Anfang 1943 bis Mianeh fahren, von wo der Weitertransport nach Russland mit Lastwagen erfolgte. Mianeh ist Endstation geblieben; an der Verbindung mit dem russischen Bahnnetz ist nicht mehr weitergebaut worden.

Von Mianeh zweigt das Tracé, das von Teheran im allgemeinen der Strasse folgt, nach Westen ab, um Täbris über Maragheh und längs des Urmiasees aus Südwesten zu erreichen. Nach Mianeh liegt es auf rd. 70 km Länge im tiefen schluchtartigen Tal des Karanghu-Tschais; hier folgen sich grössere und kleinere Tunnels und Brücken in fast ununterbrochener Reihe. Dieses etwa 600 m tiefe Tal, über dem beidseitig auf rd. 2000 m ü. M. die fruchtbaren welligen Hochebenen Persisch-Azerbejdjeans anschliessen, ist wahrscheinlich das Zentrum eines vorgeschichtlichen mächtigen Vulkans. Das Tal mahnt mit seinen ausserordentlich pittoresken und wilden Felspartien vielfach an Hochtäler unserer Heimat. Ferner findet man mächtige Bergsturz- und Rutschgebiete, die bei der Tracierung und beim Bau allerhand Vorsichtsmassnahmen erforderten und sicher auch später noch Verbauungen und Sicherungen nötig machen werden. Auf dieser Strecke waren Ende August 1941 ungefähr 30 % der Bauarbeiten ausgeführt, hauptsächlich Dienstwege für rd. 15 Mio Rials, Sohl- oder Firststollen der meisten Tunnels, kleinere und mittlere Brücken und ein Teil der Fundamente und Pfeiler der grossen Brücken. Dabei waren nicht selten Baugruben bis 14 m



Tiefe und bis 3000 m³ Aushub mit primitiven Hilfsmitteln, oft unzulänglichem Holz für die Aussteifungen und meistens ungerütteten Arbeitern auszuführen.

Auf dieser ausgesprochenen Gebirgstrecke wurden die Bauarbeiten später nicht mehr aufgenommen. Für ihre Vollendung wären unter normalen Verhältnissen noch etwa 1 1/2 Jahre nötig gewesen. Der Ausbruch und die Ausmauerung der Tunnels, die Vollendung der grossen Brücken, die Beschaffung der notwendigen Bausteine von über 100 000 m³, davon ungefähr 200 000 m² bearbeitete Sichtflächen, das alles mit wenigen europäischen Spezialisten, wie Maurern, Steinbauern, Mineuren und Zimmerleuten zu bewältigen, benötigt viel Zeit. Wegen der Unsicherheit über die Hochwasserführung dürfen die Brückenlehrgerüste, die mit dem vorhandenen Material nicht stützenlos erstellt werden können, nur in der wasserarmen Zeit montiert werden, wodurch das Bauprogramm weitgehend festgelegt wird. Aus dem allem geht hervor, dass die direkte Schienenverbindung mit Täbris noch einige Zeit auf sich warten lassen wird.

Die Strecke Teheran-Machad folgt zunächst der transiranischen Linie Teheran-Firouzkuh-Bandar Chah bis Garmsar und verläuft dann bis Damghan am Rande der grossen Salzwüste, wobei sie aber zwischen Semnan und Damghan die nördlichen Randgebirge durchfährt und dort bis auf eine Höhe von 1800 m ü. M. hinaufsteigt. Auf dieser Strecke sind mächtige Einschnitte und entsprechende Dämme von bis zu 40 000 m³ nicht selten. Dem europäischen Auge erscheint die Landschaft kahl, sie bietet aber an den Bergabhängen, verursacht durch Verwitterung und Zersetzung des Gesteins, kräftige satte Farbenkontraste zwischen schwarz, blau, dunkelrot, alle Nuancen von Ocker und Veronesergrün, die einen unvergesslichen Eindruck hinterlassen, wie überhaupt in der Wüste am Morgen und am Abend unverstellbar schöne Farbensymphonien zu sehen sind.

Viel Schwierigkeiten verursachte auf der Strecke Garmsar-Semnan das durch Gipssalze aggressive Wasser der Flüsse und Bäche, die zwar meistens trocken sind und deren tückische Eigenschaften beim Bau oft nicht erkennbar waren. Dieses Wasser führte vielfach zur vollständigen Zerstörung des in den Fundamenten, Widerlagern und Pfeilern der Brücken verwendeten Zementes und verursachte teure Nacharbeiten. Um dieser Gefahr zu begegnen, wurden in der Folge vor Beginn der Bauarbeiten bei allen Objekten Boden- und soweit möglich auch Wasserproben entnommen und zur Analyse nach Teheran gesandt. Bei positivem Ergebnis stellte man die Fundamente in aus gebrannten Ziegeln erstellte Tröge, deren Wände und Sohle mit einer Jute-Asphaltisolierung verkleidet wurden. Das aufgehende Mauerwerk wurde nicht mit Zementmörtel, sondern mit einem Asphaltmörtel mit heißen Eisen ausgefügt, soweit eine Benetzung mit Flusswasser zu erwarten war.

Die Strecke Ghom-Yazd ist in ihrem Unterbau fertig erstellt. Da aber der Oberbau noch fehlt, kann sie nicht betrieben werden. Ein ganzer Dampfer mit Schienen und Kleineisenzeug scheint 1941 das Opfer des U-Bootkrieges geworden zu sein. Die Linie führt westlich Anarek vorbei, im allgemeinen durch flaches z. T. Wüstengelände und bietet technisch nicht viel bemerkenswertes.

Die transiranische Stammstrecke vom Persischen Golf über Teheran nach Bandar Chah ist heute noch einspurig. Während des Krieges wurde der Teil südlich Teheran im wesentlichen von Angehörigen der amerikanischen Armee betrieben, wogegen von Teheran bis zum Kaspischen Meer russische Soldaten die meisten Züge führten und die Strecke scharf bewach-

